

図1 (738) Alagasta (2022年11月12日) の食 観測結果 (時刻はJ.S.T)

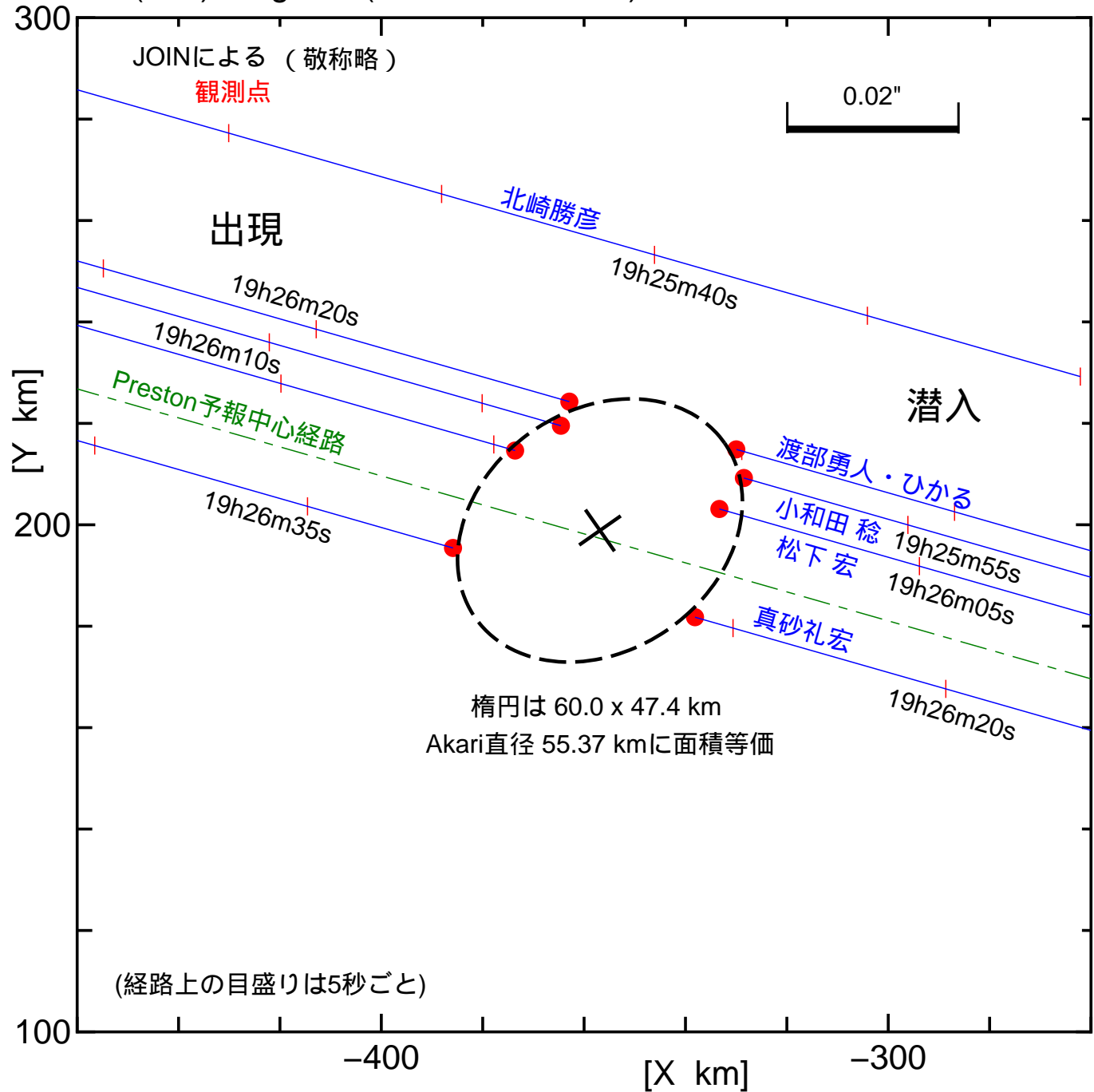


図2 (904) Rockefellia (2022年12月6日) の食 観測結果 (時刻はJ.S.T)

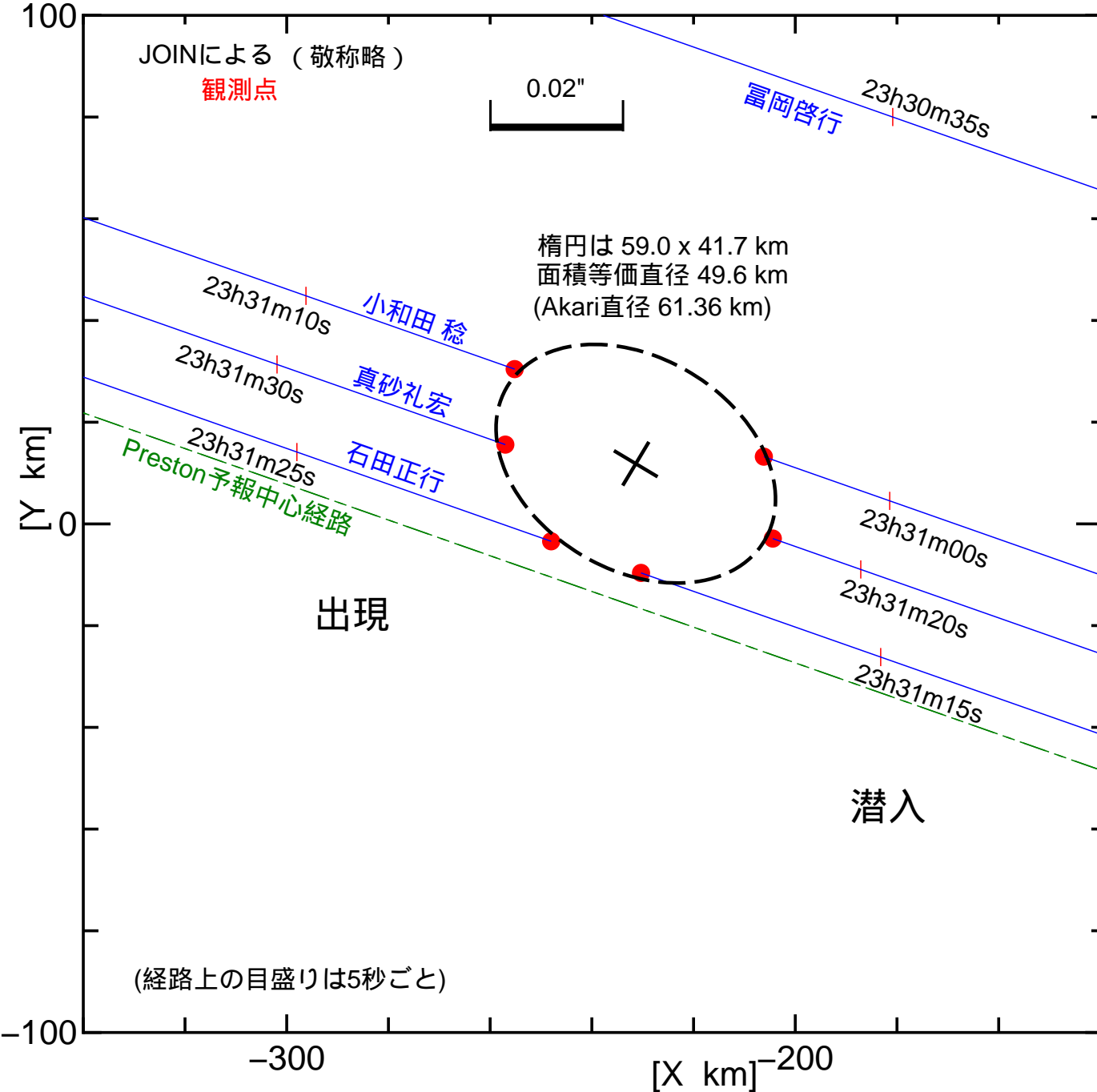
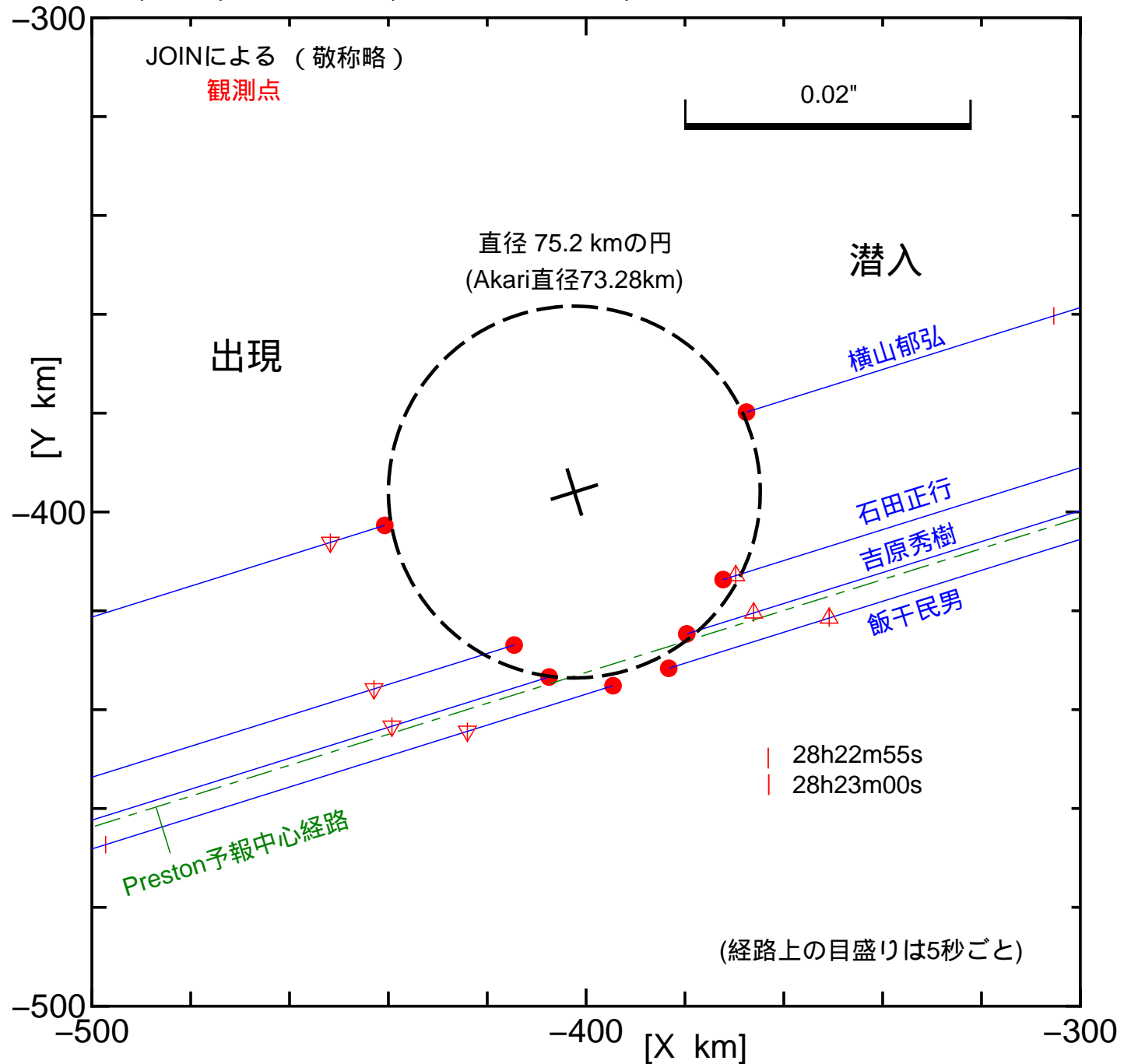


図3 (3596) Meriones (2022年12月9日) の食 観測結果 (時刻はJ.S.T)



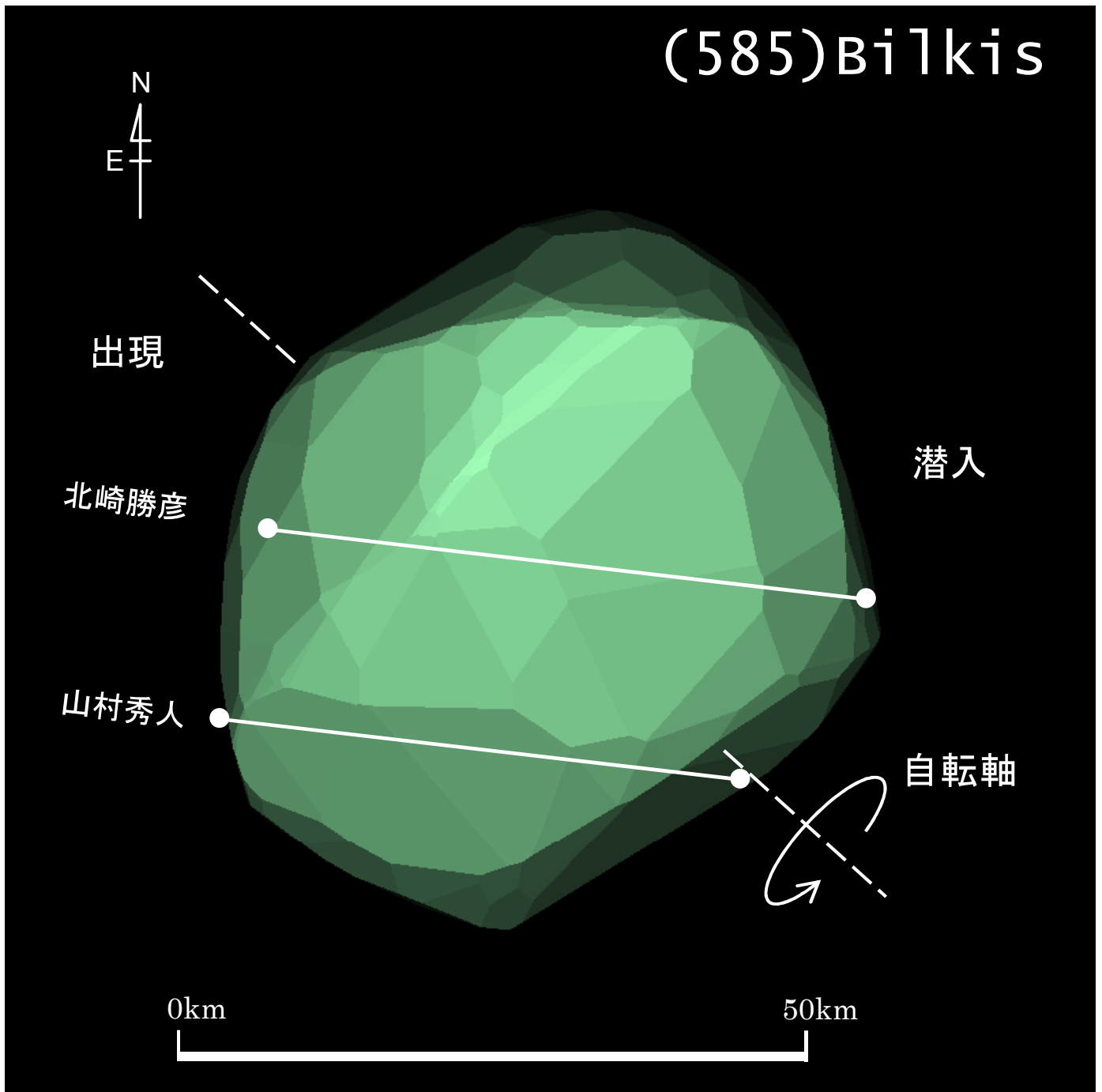


図4 (585) Bilkis 2022年12月13日 16h13m32s UT DAMIT Model 5592 ($\lambda = 322$ 、 $\beta = -32$)
 $P = 228^\circ$ 、 $\beta_e = +17^\circ$ 、 $\lambda_e = -112^\circ$ 、Scale Factor 1: 46.6、 $k = 0.998$ 、 $B = 176.7^\circ$

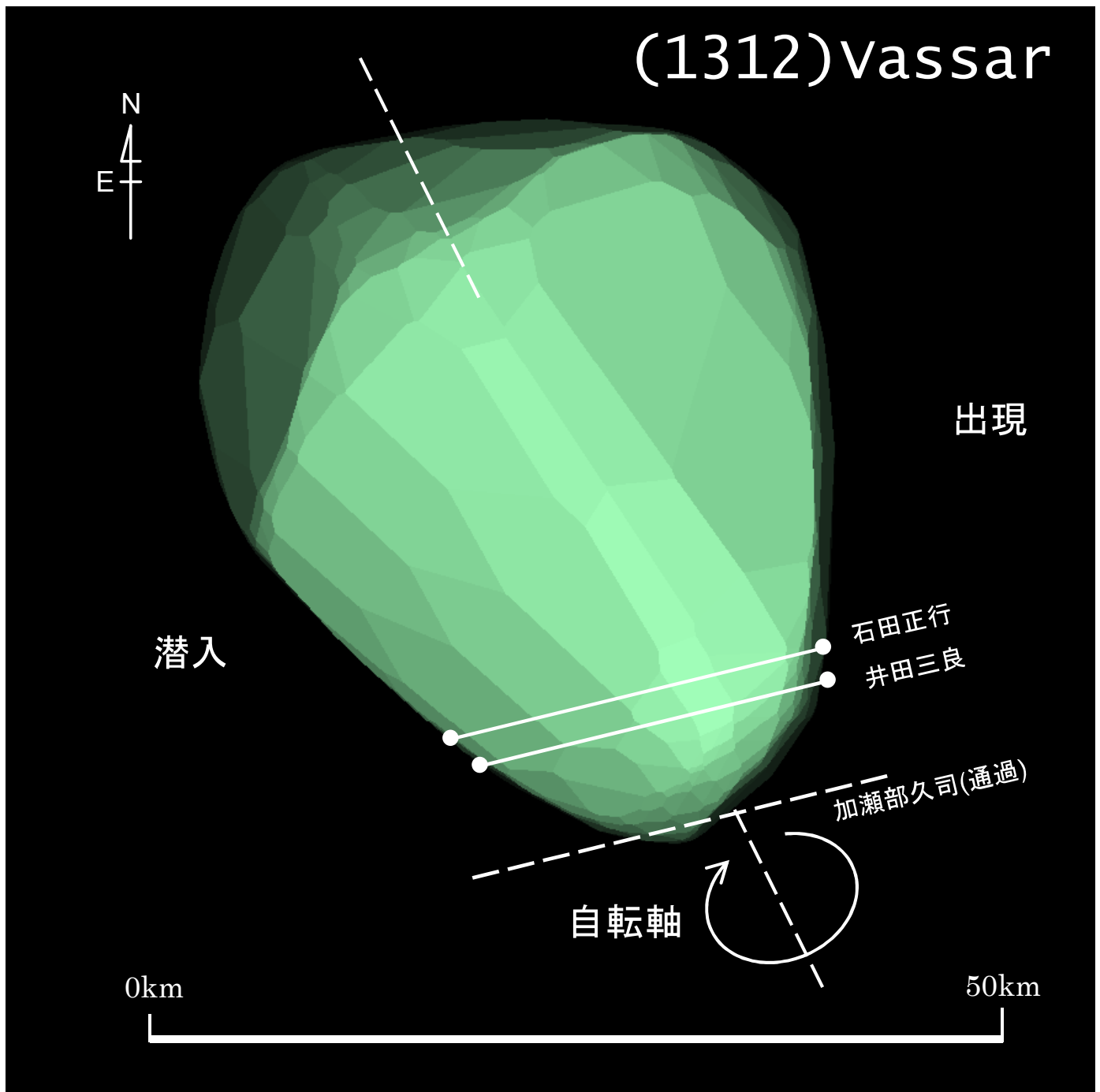


図5 (1312) Vassar 2003年11月7日 09h29m15s UT DAMIT Model 858 ($\lambda = 251$ 、 $\beta = -23$)
 $P = 206^\circ$ 、 $\beta_e = -54^\circ$ 、 $\lambda_e = 81^\circ$ 、Scale Factor 1: 30.3、 $k = 0.989$ 、 $B = 260.6^\circ$

(498)Tokio

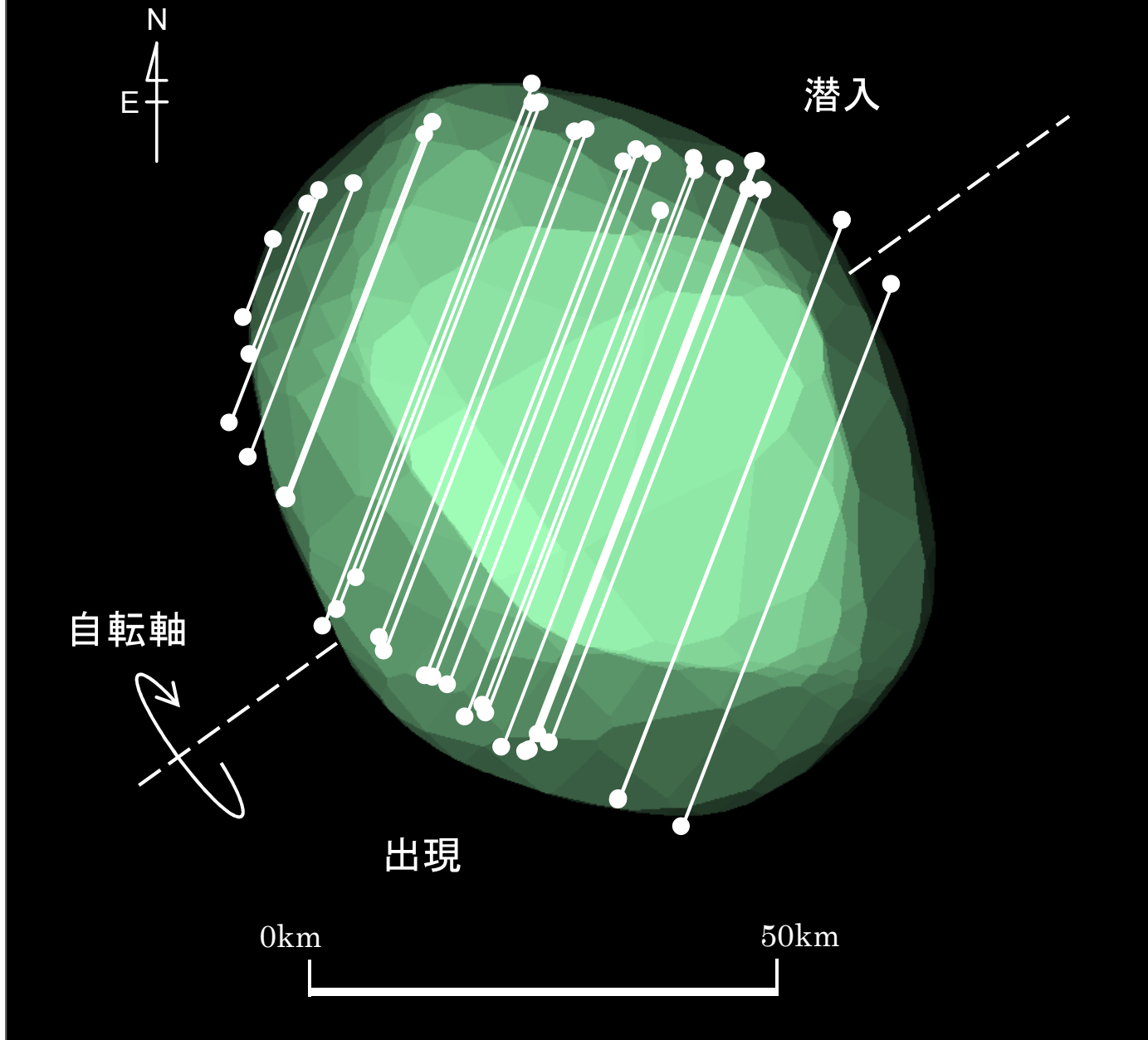


図6 (498)Tokio 2004年2月17日 16h35m27s UT DAMIT Model 6123 ($\lambda = 275$ 、 $\beta = -10$)
 $P = 125^\circ$ 、 $\beta_e = -11^\circ$ 、 $\lambda_e = -262^\circ$ 、Scale Factor 1: 58.2、 $k = 0.985$ 、 $B = 102.3^\circ$

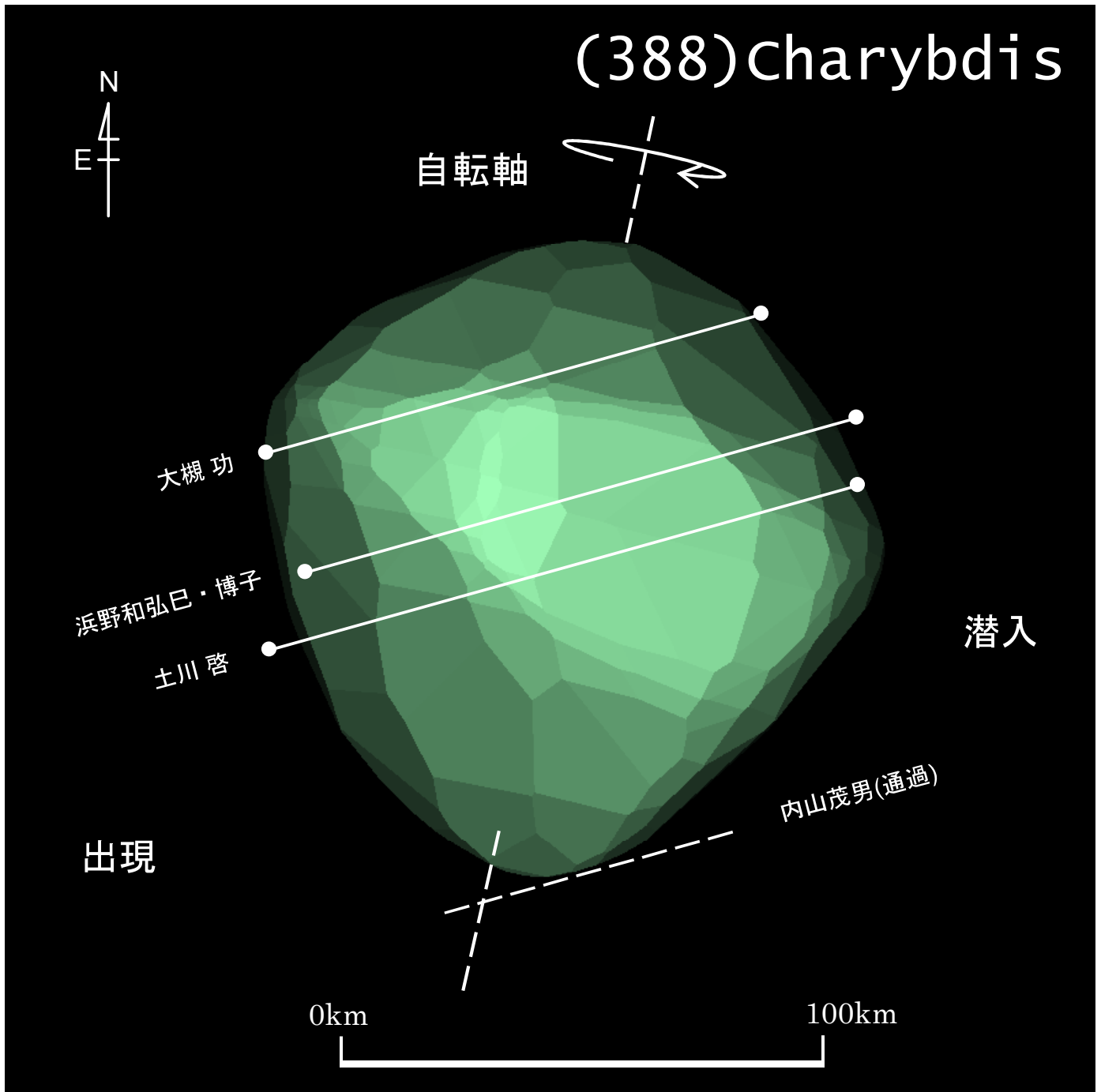


図7 (388) Charybdis 2004年4月17日 17h26m30s UT DAMIT Model 3837 ($\lambda = 124$ 、 $\beta = +54$)
 $P = 347^\circ$ 、 $\beta_e = -3^\circ$ 、 $\lambda_e = 35^\circ$ 、Scale Factor 1:103.9、 $k = 1.000$ 、 $B = 254.1^\circ$

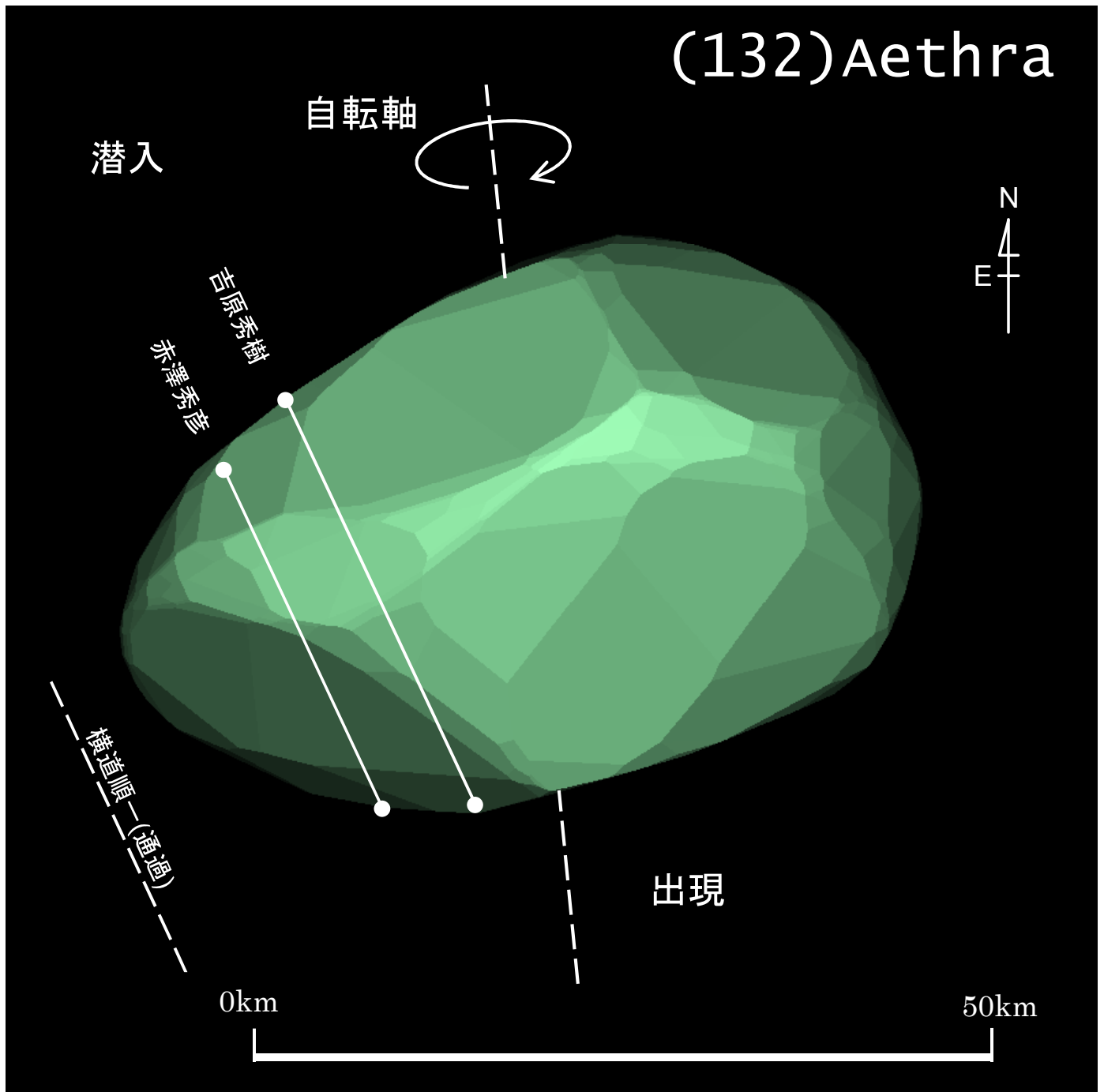


図8 (132) Aethra 2004年4月20日 19h11m45s UT DAMIT Model 161 ($\lambda = 326$ 、 $\beta = +67$)
 $P = 8^\circ$ 、 $\beta_e = -23^\circ$ 、 $\lambda_e = +135^\circ$ 、Scale Factor 1: 35.9、 $k = 0.964$ 、 $B = 81.1^\circ$

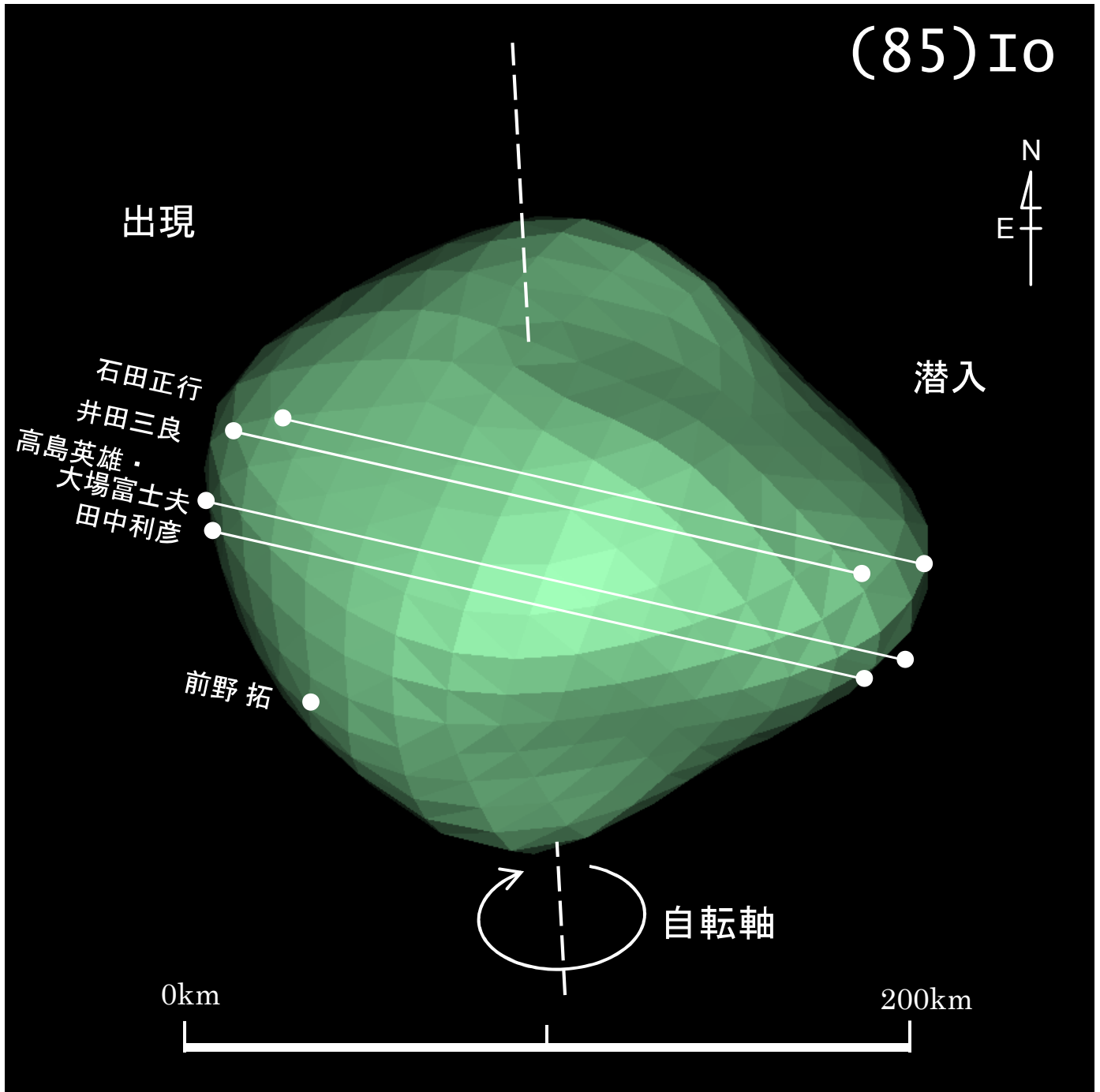


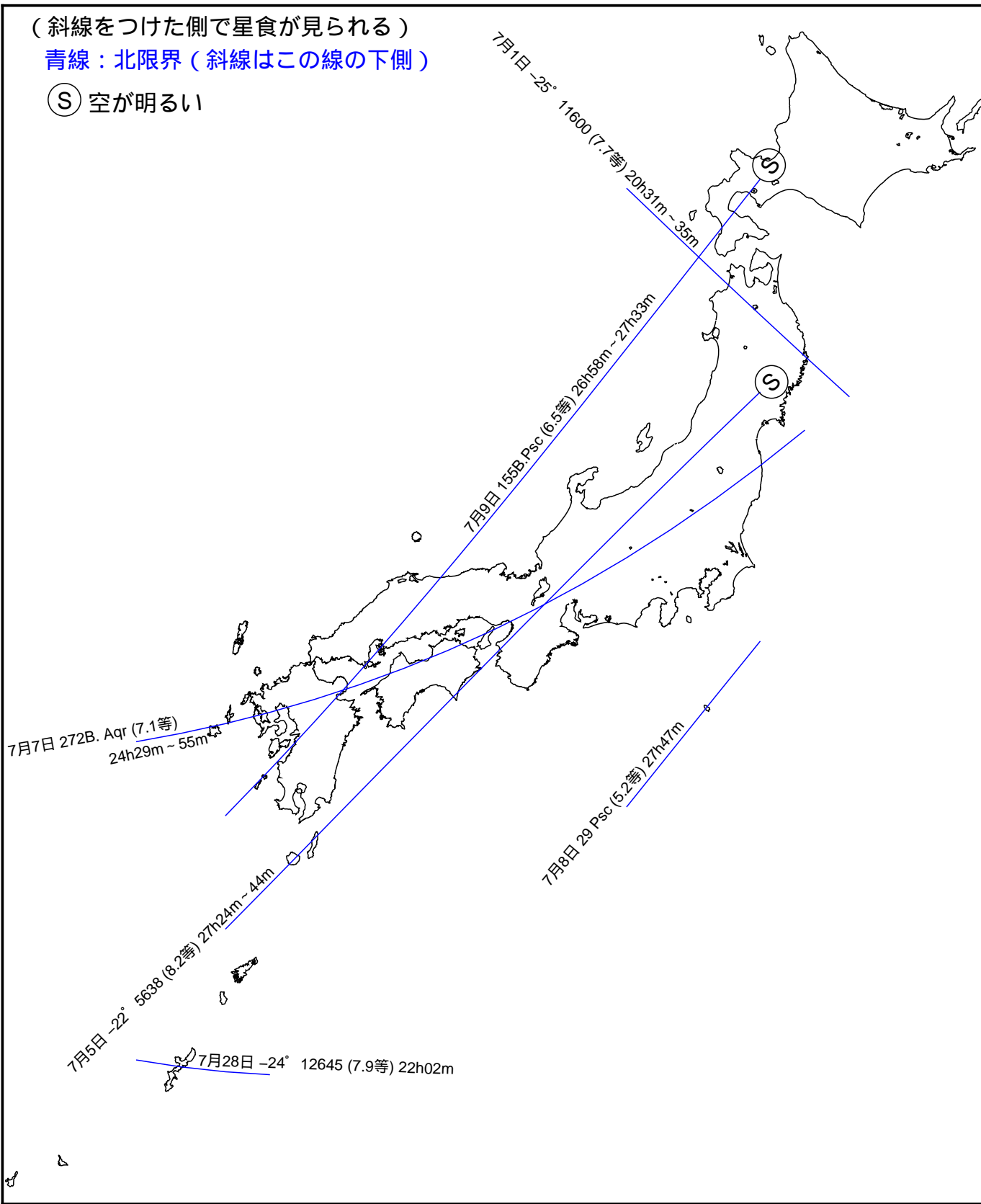
図9 (85) Io 2004年12月7日 14h33m47s UT DAMIT Model 1822 ($\lambda = 92$ 、 $\beta = -68$)
 $P = 184^\circ$ 、 $\beta_e = -38^\circ$ 、 $\lambda_e = -59^\circ$ 、Scale Factor 1: 1.0、 $k = 0.995$ 、 $B = 130.1^\circ$

図10 2023年7月 日本を通る主な星食限界線

(斜線をつけた側で星食が見られる)

青線：北限界(斜線はこの線の下側)

Ⓢ 空が明るい



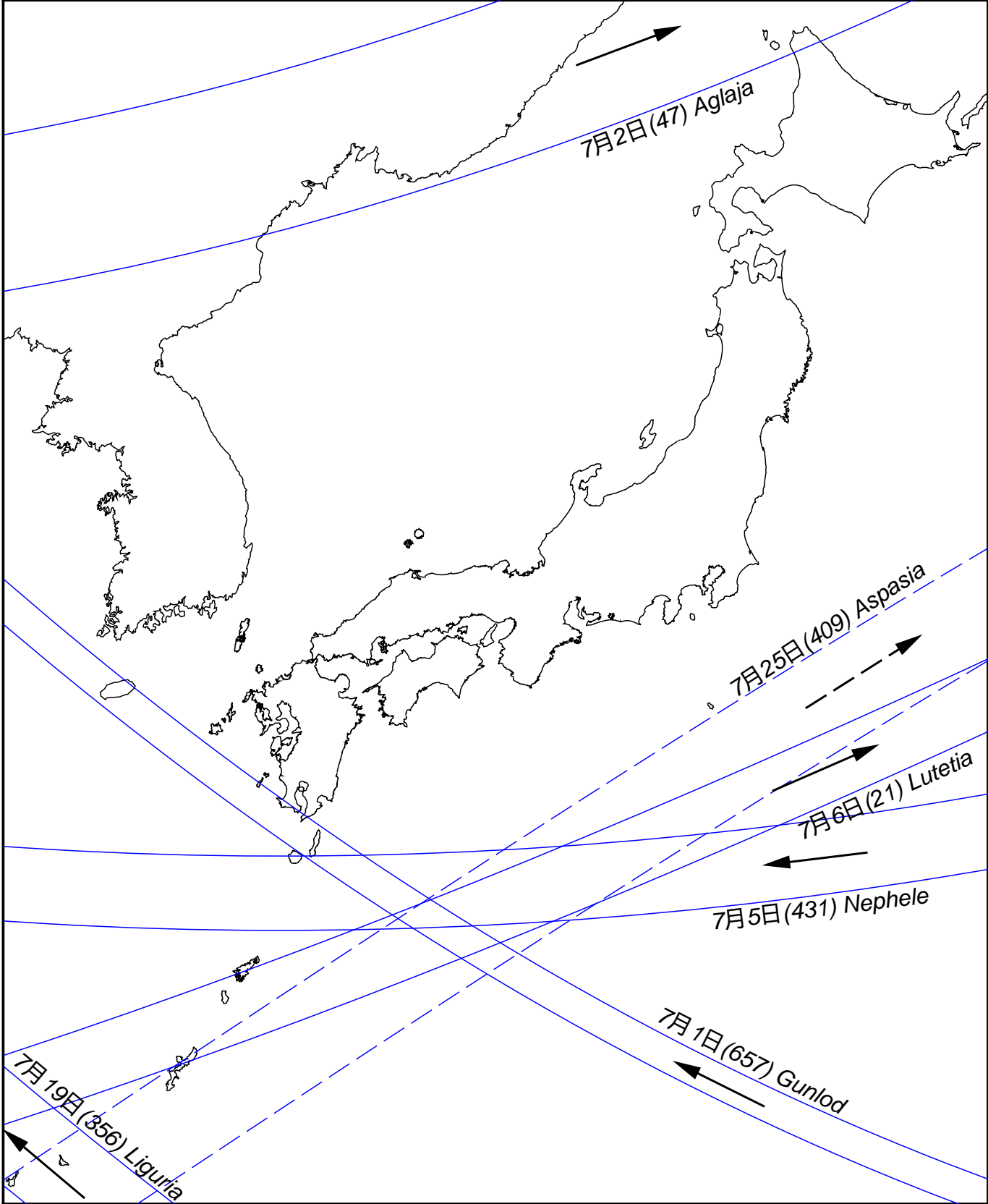


図11 小惑星による主な掩蔽帯経路 (S.Preston初期予報ほか) 2023年7月
 矢印は影の移動方向を示す

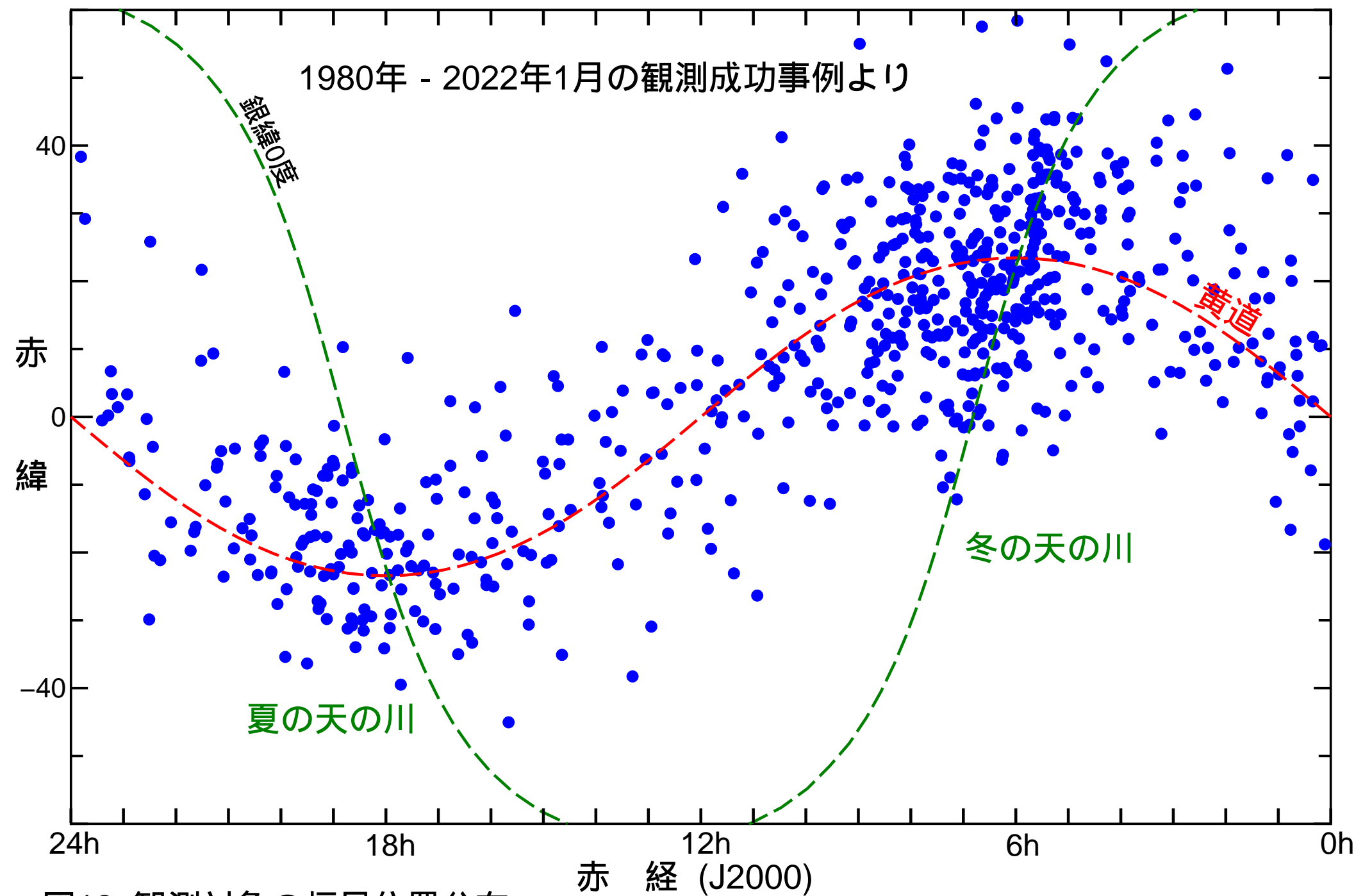


図12 観測対象の恒星位置分布

2019年-2023年1月

銀緯0度

赤緯

24h 18h 12h 6h 0h

赤経 (J2000)

食予報の恒星位置分布

